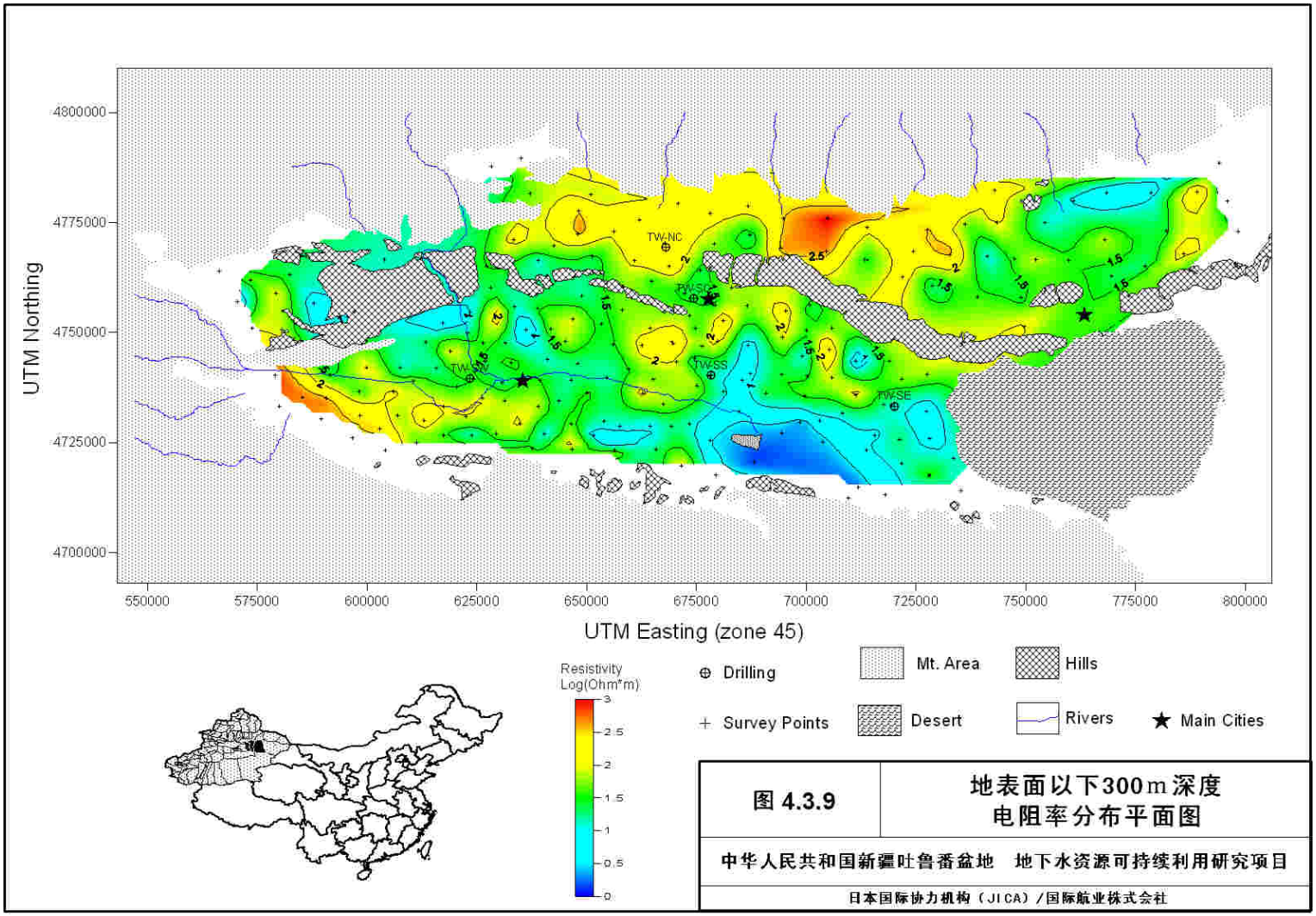

图 4.3.9　地表面以下300m深度电阻率分布平面图

中华人民共和国新疆吐鲁番盆地　地下水资源可持续利用研究项目

日本国际协力机构（JICA）/国际航业株式会社

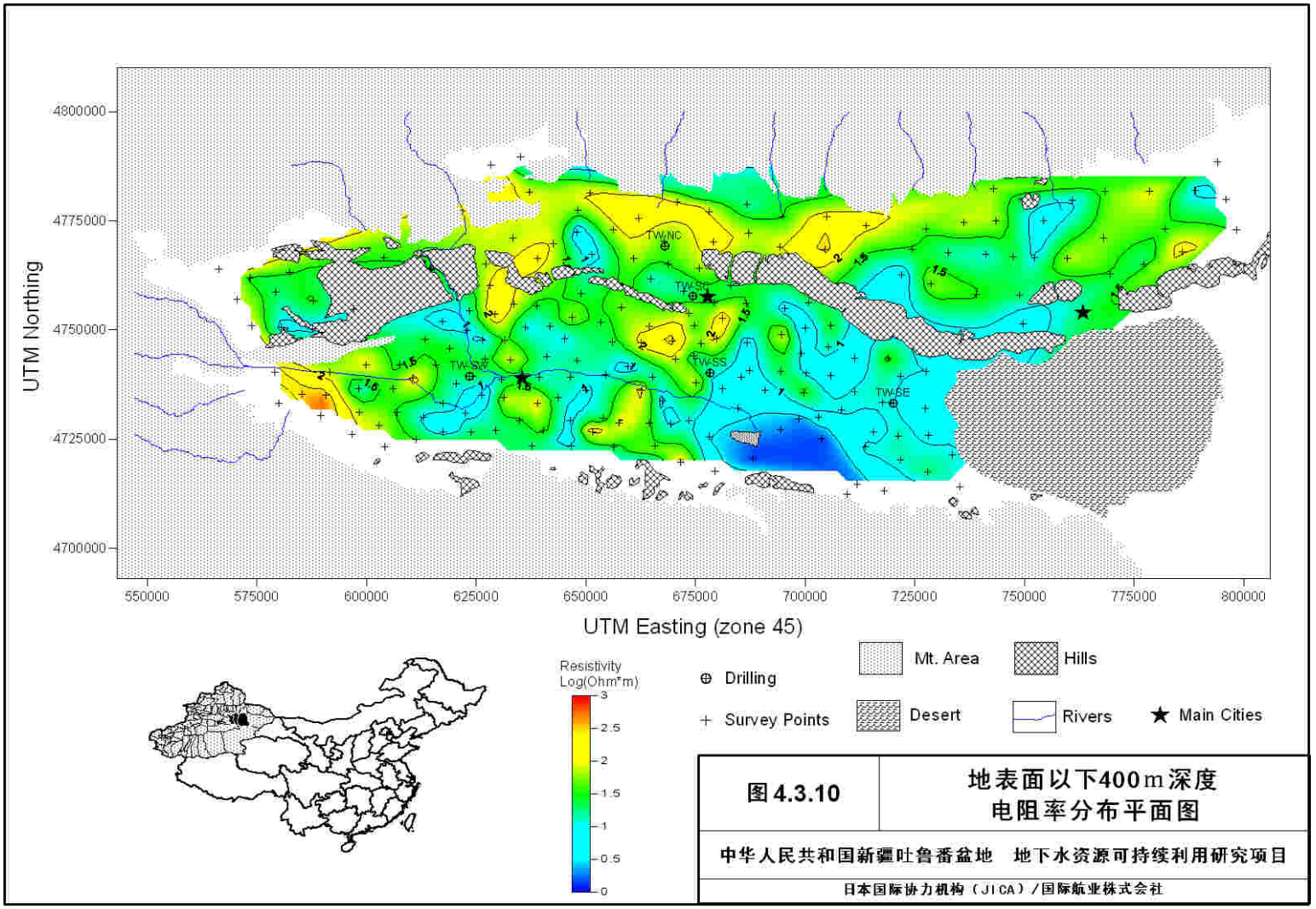

图 4.3.10　地表面以下400m深度电阻率分布平面图

中华人民共和国新疆吐鲁番盆地　地下水资源可持续利用研究项目

日本国际协力机构（JICA）/国际航业株式会社

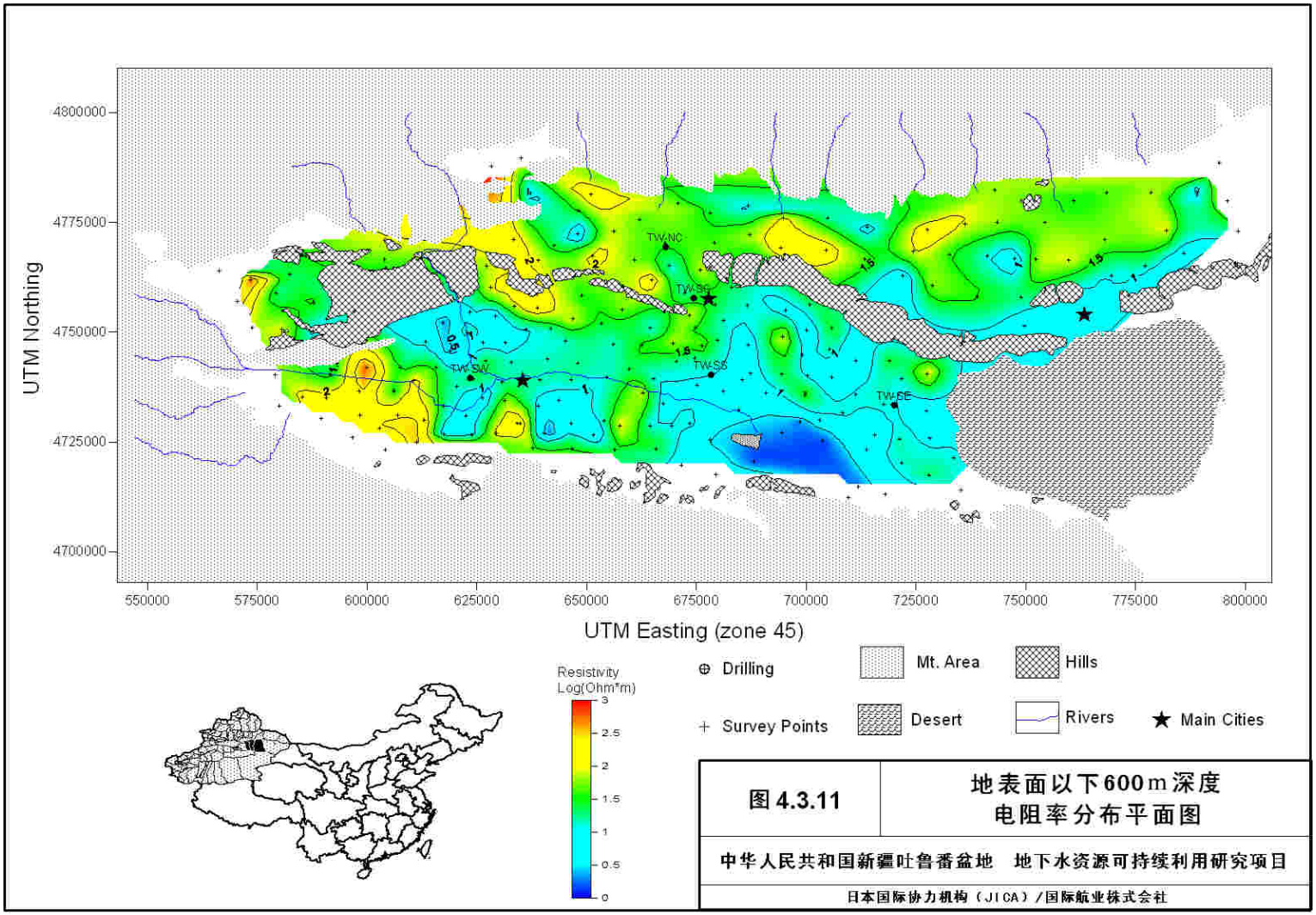

图 4.3.11	地表面以下600m深度 电阻率分布平面图
中华人民共和国新疆吐鲁番盆地　地下水资源可持续利用研究项目	
日本国际协力机构（JICA）/国际航业株式会社	

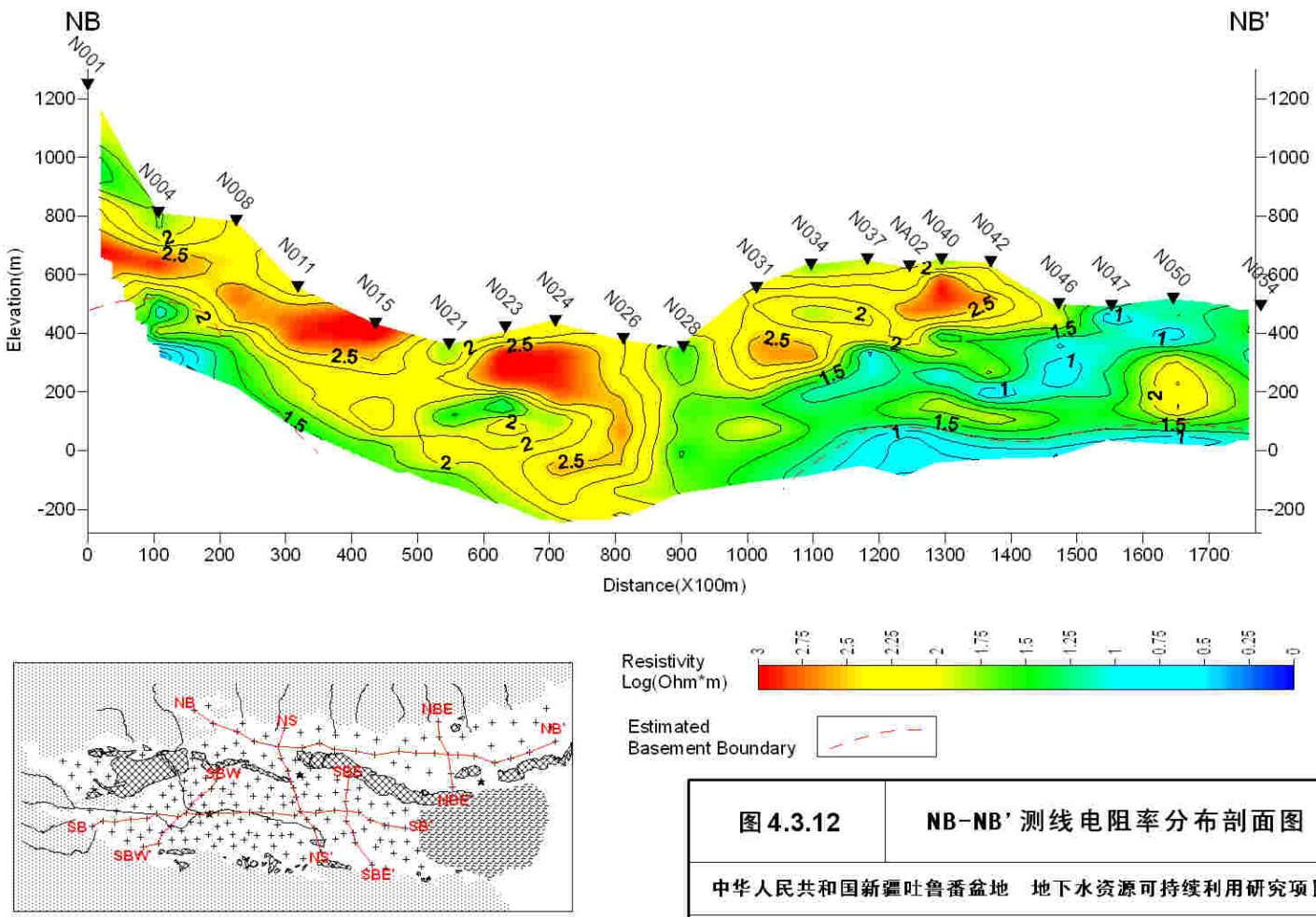

图 4.3.12　NB-NB' 测线电阻率分布剖面图

中华人民共和国新疆吐鲁番盆地　地下水资源可持续利用研究项目

日本国际协力机构（JICA）/国际航业株式会社

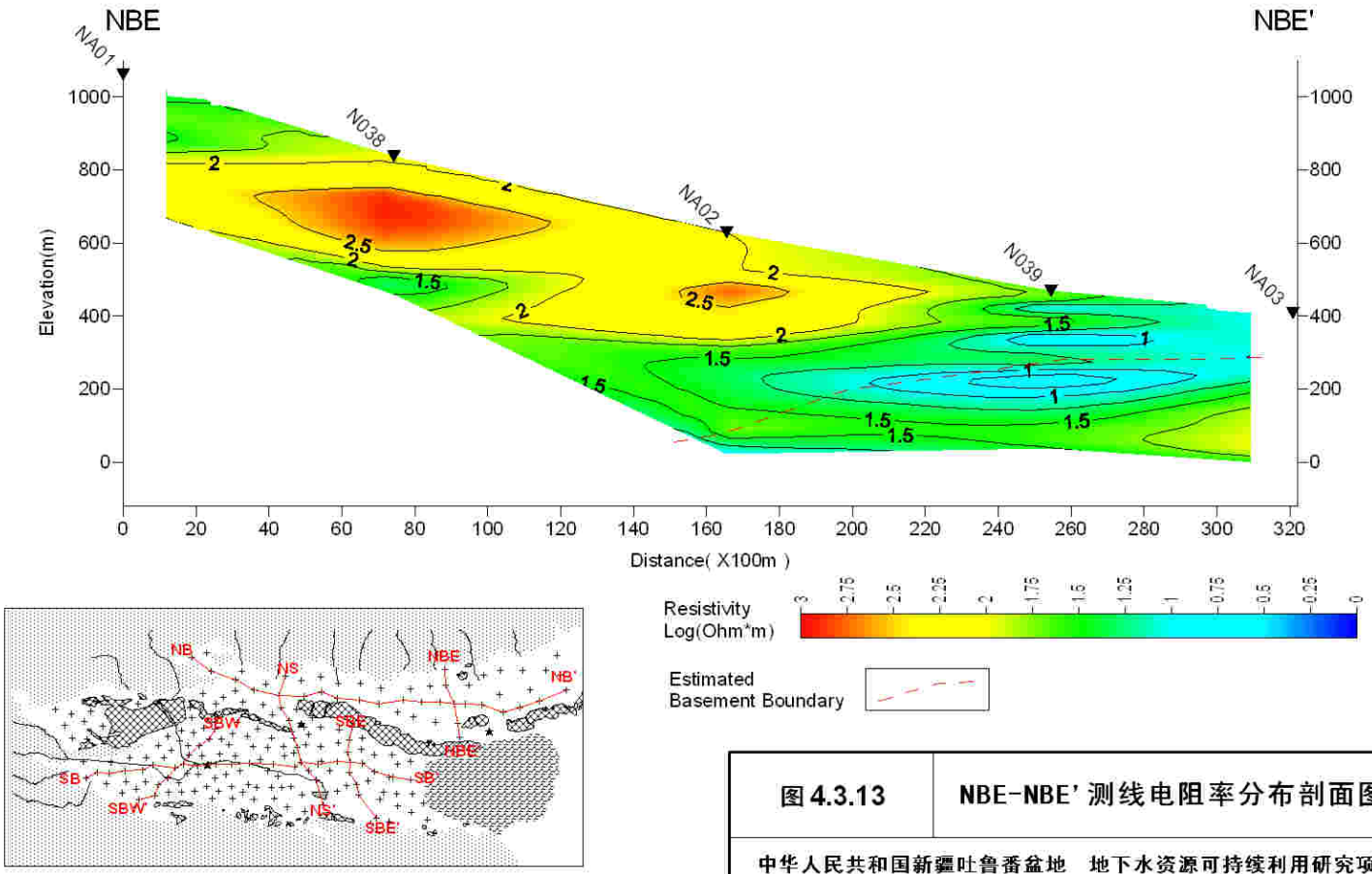

图 4.3.13　NBE-NBE' 测线电阻率分布剖面图

中华人民共和国新疆吐鲁番盆地　地下水资源可持续利用研究项目

日本国际协力机构（JICA）/国际航业株式会社

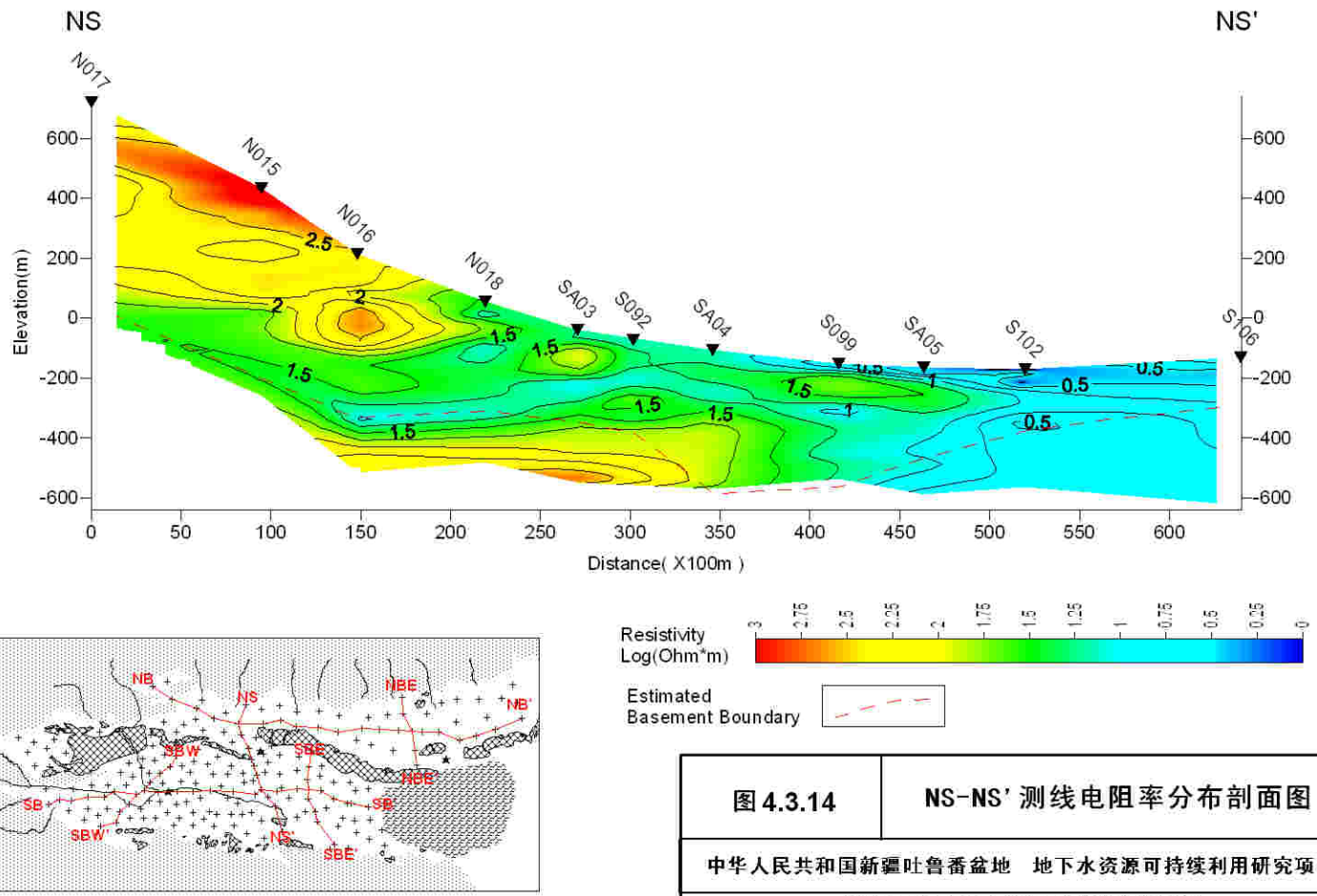

图 4.3.14	NS-NS' 测线电阻率分布剖面图
中华人民共和国新疆吐鲁番盆地　地下水资源可持续利用研究项目	
日本国际协力机构（JICA）/国际航业株式会社	

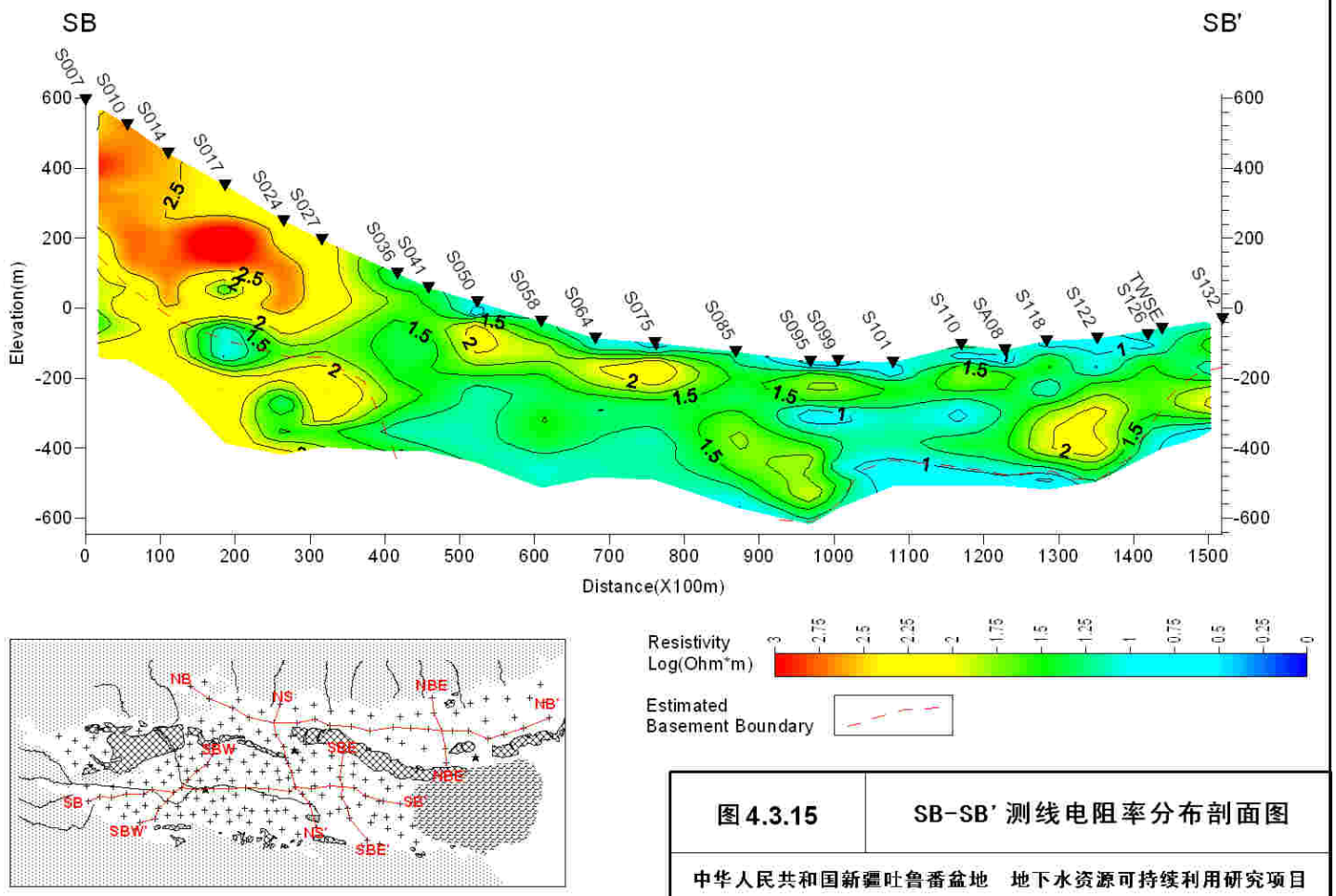

图4.3.15　SB-SB' 测线电阻率分布剖面图

中华人民共和国新疆吐鲁番盆地　地下水资源可持续利用研究项目

日本国际协力机构（JICA）/国际航业株式会社

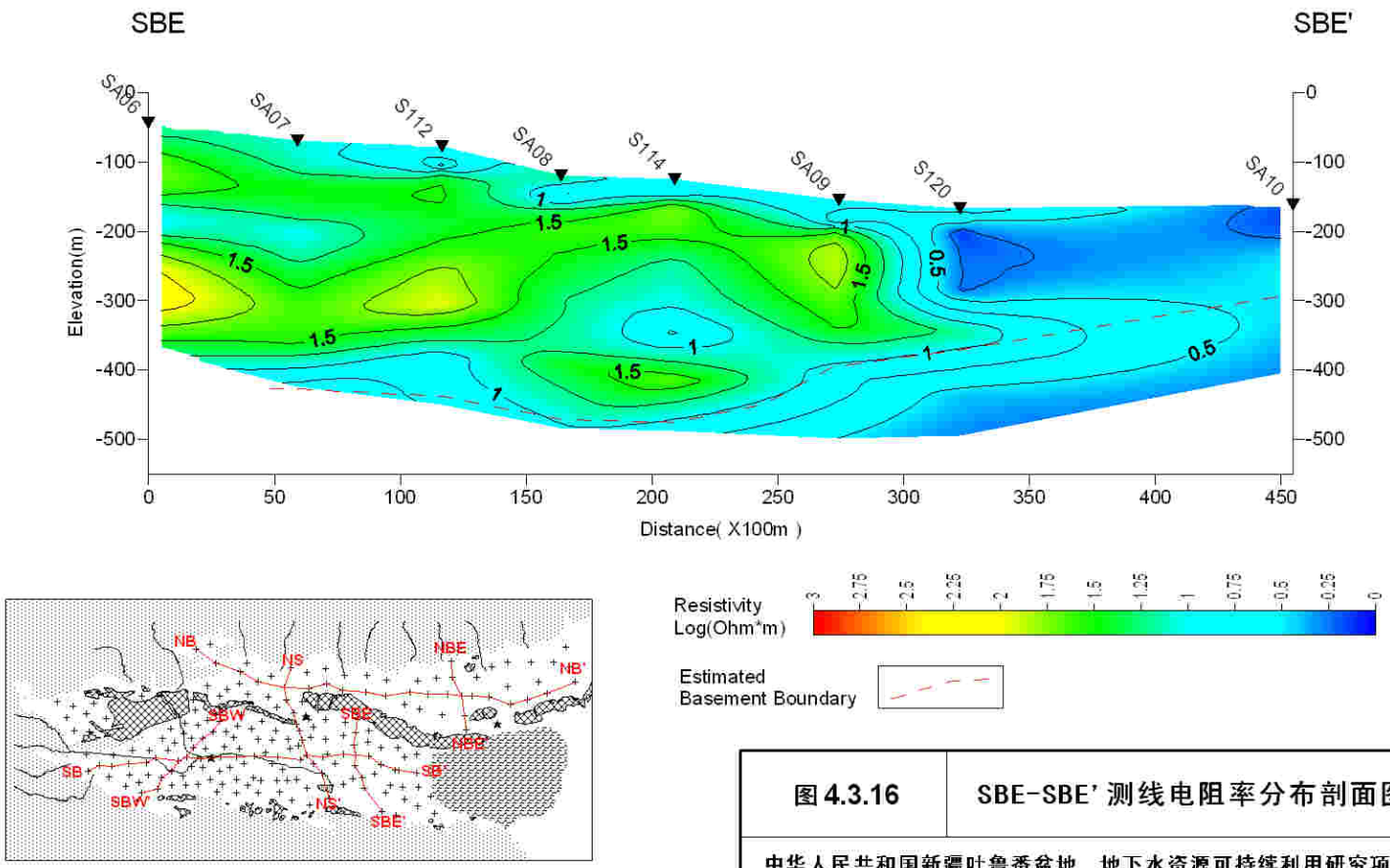

图 4.3.16　SBE-SBE' 测线电阻率分布剖面图

中华人民共和国新疆吐鲁番盆地　地下水资源可持续利用研究项目

日本国际协力机构（JICA）/国际航业株式会社

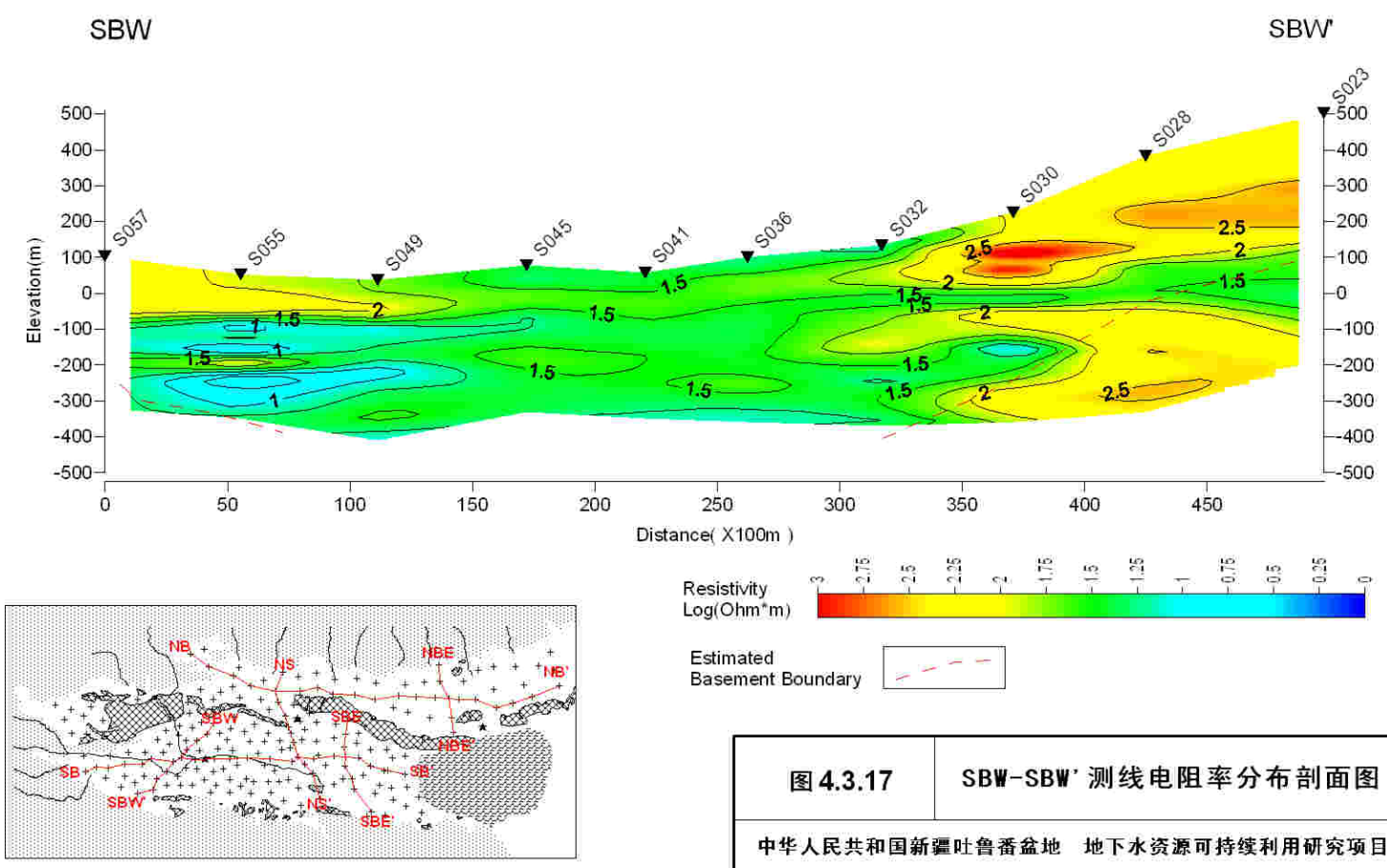

图 4.3.17	SBW-SBW' 测线电阻率分布剖面图
中华人民共和国新疆吐鲁番盆地　地下水资源可持续利用研究项目	
日本国际协力机构（JICA）/国际航业株式会社	

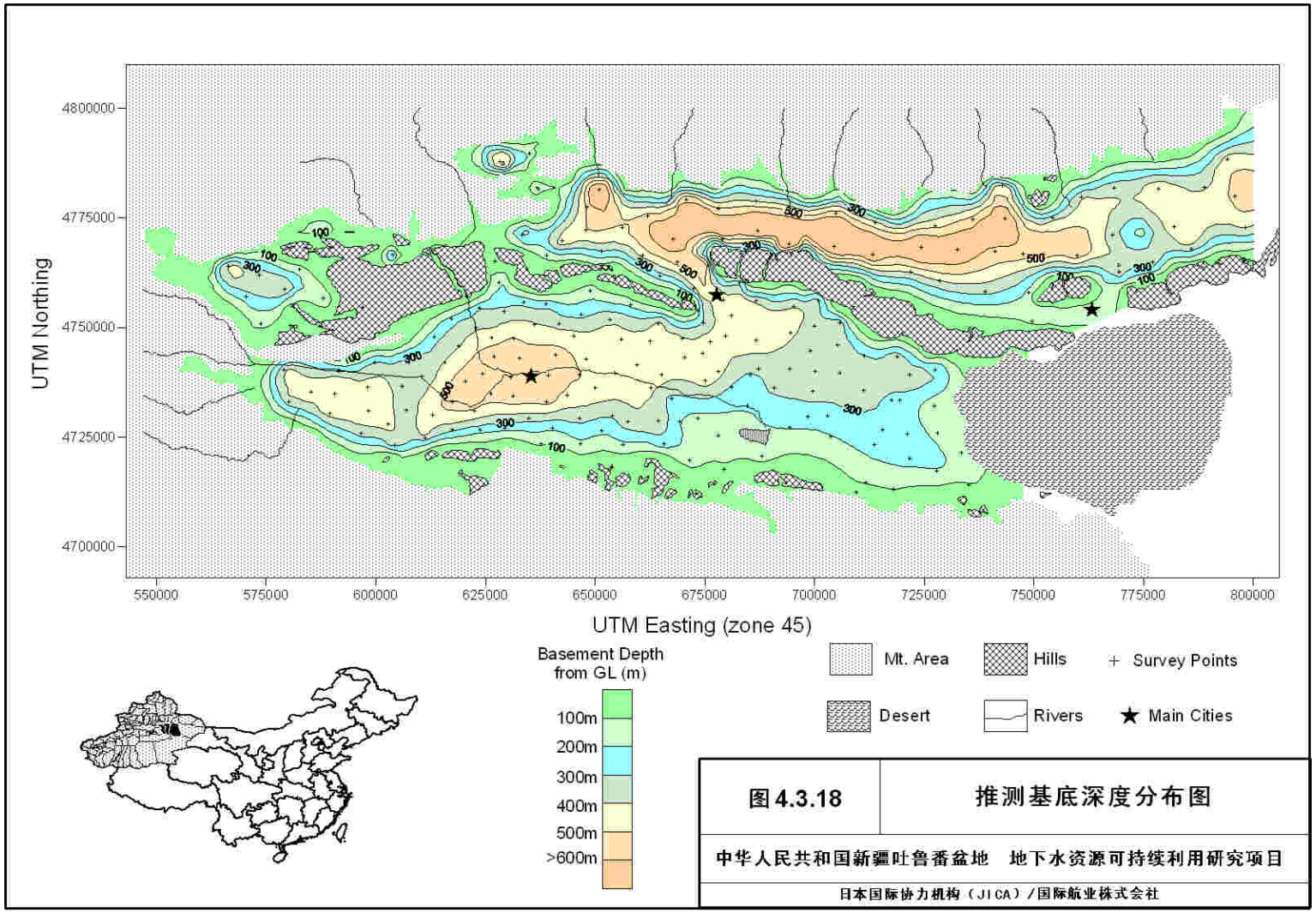

图 4.3.18　推测基底深度分布图

中华人民共和国新疆吐鲁番盆地　地下水资源可持续利用研究项目

日本国际协力机构（JICA）/国际航业株式会社